

III-46 Two-surface モデルによる地盤材料の構成式について(第1報)

鹿児島大学工学部 正員 北村良介
 同 上 正員 春山元寿
 同 上 高橋秀一

1. まえがき

1960年前後に発表された Cambridge モデル^{1), 2)}は、弾塑性論に基づき、正規圧密粘土の圧密せん断挙動を統一的に表現できる最初の地盤材料固有の構成式であった。このモデルににおける基本的な概念($e \sim \log p'$ 関係、エネルギー式)は、以後の弾塑性論を用いた多くの構成式に取り入れられていく³⁾。しかし、Cambridge モデルは正規圧密粘土のくり返し載荷過程での挙動、あるいは、過圧密粘土や砂質土の挙動を十分に表現することができない。このような欠点を克服するため、1970年後半になって、過圧密域での塑性ひずみ成分を評価できるよう従来の降伏曲面の中に新たに降伏曲面を導入した Multi-surface モデル⁴⁾や Two-surface モデル⁵⁾が提案されてきている。

本報告では、Mroglia が提案している Two-surface モデル⁵⁾をとりあげ、マトリックス表示形の構成式を説明してある。さらに、マイコン用プログラムを作成し、数値実験結果をもとに、Two-surface モデルを用いた構成式の適用性を検討している。

2. Two-surface モデルの概要

図-1 は Mroglia が提案している Two-surface モデルにおける 2 つの降伏曲面を示す。図中の横軸 p 、縦軸 q は、それ自身平均主応力、軸差応力を示す。これらの降伏曲面は次式で与えられる相似な橿円である。

$$F = (p - c)^2 + q^2/m^2 - a^2 = 0 \quad (1)$$

$$f = (p - d_p)^2 + (q - d_q)^2/m^2 - a_0^2 = 0 \quad (2)$$

応力状態の変化により、2つの橿円 $F=0$, $f=0$ は拡大、縮小され、また、小さい橿円 $f=0$ は大きい橿円の内部を移動する。図-2 は、構成式の説明手順を示したものである。図より、まず取りあげ T -Two-surface モデルは複合硬化則に基づき、複連続則を用いてモデルであることがわかる。

弹性ひずみ、塑性ひずみ成分は次のようにして評価される。現在の応力状態がより応力増分ベクトルがともに小さい橿円 $f=0$ の内部にあるとき、あるいは、応力状態が $f=0$ 上にあり、応力増分ベクトルが内向きの場合には弾性ひずみのみが生じる。応力状態が $f=0$ 上にあり、応力増分ベクトルが外向きの場合には、 $f=0$, $F=0$ を降伏実験とし、内挿法を用いて塑性ひずみ成分が導かれる。そして、 $f=0$ は、新たな応力状態が $f=0$ 上へくさように移動する。よって、拡大、縮少する。さらに、 $F=0$ も $f=0$ の拡大、縮小とともに、2 拡大、縮少する。応力状態が $F=0$ 上にあり、応力増分ベクトルが外向きの場合には、 $F=0$ を降伏実験とする塑性ひずみが生

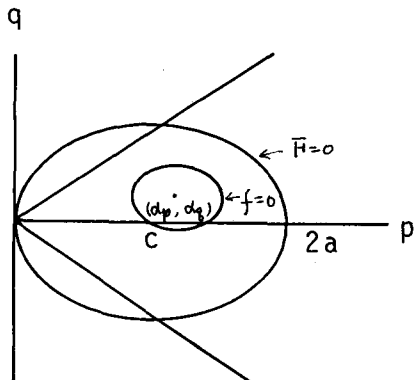


図-1 2つの降伏曲面

$e \sim \log p'$ 関係

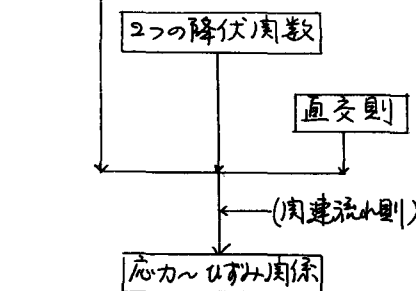


図-2 構成式の説明手順

σ , $F=0$, $f=0$ の大ささ。

弾性ひずみ成分 $d\epsilon_{ij}^e$, 塑性ひずみ成分 $d\epsilon_{ij}^p$ をテンサ-表示するとき次のようである。

$$d\epsilon_{ij}^e = \frac{C_s}{6.9(1+e)} \cdot \frac{d\sigma_m'}{\sigma_m'} \delta_{ij} + \frac{S_{ij}}{2G_s} \quad (3)$$

$$d\epsilon_{ij}^p = \frac{\frac{3(\sqrt{3J_2}-d_p)}{m^2\sqrt{3J_2}} S_{ij} + \frac{2}{3}(\sigma_m'-d_p) \delta_{ij}}{9.2 \alpha_0 \frac{1+e}{C_e - C_s} (\sigma_m' - d_p)} \quad (4)$$

$$\cdot \left[\frac{3(\sqrt{3J_2}-d_p)}{m^2\sqrt{3J_2}} S_{kk} dS_{kk} + 2(\sigma_m' - d_p) d\sigma_m' \right] \quad (4)$$

\therefore は、 e : 間隙比, C_e, C_s : 粘結, 膨張指數,

$\sigma_m', d\sigma_m'$: 主応力, およびその増分,

S_{ij}, dS_{ij} : 偏差応力, およびその増分,

J_2 : 偏差応力の 2 次不変量, G_s : せん断弾性係数,

δ_{ij} : フロネルカーネル。

(2), (4) 式を用いて、次式のようなマトリックス表示形の構成式が誘導される。

$$\{d\epsilon_{ij}\} = \{d\epsilon_{ij}^e + d\epsilon_{ij}^p\} = [\{D_e\} + \{D_p\}] \{d\sigma_{ij}\}$$

$$= [D] \{d\sigma_{ij}\} \quad (5)$$

(4) 式は、 $f=0$ を降伏関数としたときの塑性ひずみ成分である。

$F=0$ を降伏関数とした場合は、 α_0 を C , d_p を 0 に書きかえます。

3. 数値解析例

(5) 式であらわされた構成式をもとに、マイコン用プログラムを作成し、数値実験を行った。今回報告するものは排水条件での側圧一定、応力制御型の三軸圧縮試験をシミュレートした例である。図-3は、120 psi ($\approx 8.4 \text{ kN/cm}^2$) まで等方圧縮後、過圧密 OCR が 1, 4/3, 2, 4, 12 となるように膨潤させ、その後に側圧一定でせん断した場合の応力ひずみ関係を示している。 σ'/σ ～ ϵ_1 図によると、OCR が大きくなるほど、勾配が大きくなっている。実際の地盤材料の挙動と一致している。しかし、実際には、ダイレイタンシ-特性はない、OCR が大きくなるにつれて、応力直角方向から膨脹直角方向へと移行するのであるが、本モデルではそのようにはなっていない。

4. あとがき

今回報告した Two-surface モデルは、汎用性の高いモデルであり、原理的には、正規化粘土、過圧密土の等方圧密、異方圧密、排水、非排水、クリッピング荷重等に適用できる。今後は、これらとの条件での実際の地盤材料の挙動を定量的に評価できよう検討を進めていきたい。

(参考文献) 1) Schofield and Wroth: Critical state Soil Mechanics, McGraw Hill, 1968, 2) Roscoe and Burland: On the generalized stress-strain behaviour of wet clay, Engineering Plasticity, Cambridge Univ. Press, 1968, 3) Dafid Pender: Geotech., Vol.28, No.1, 1978, 4) Prevost: Proc. ASCE, Vol.104, EM 5, 1978, 5) Higgs: Geotech., Vol.29, No.1, 1979.

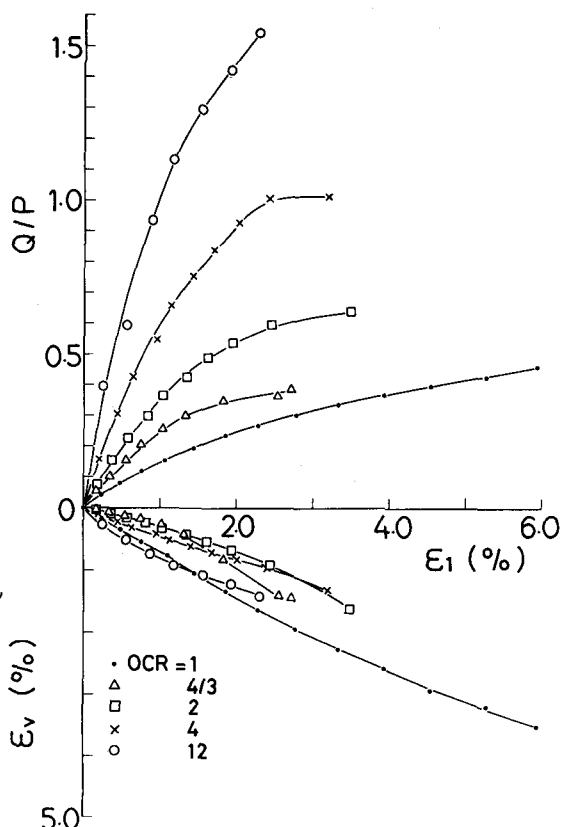


図-3 応力ひずみ関係